

九州大学応用力学研究所 正員 大屋裕二, 正員 中村泰治  
渡辺公彦

## 1. まえがき

Bluff body が乱流場中に置かれた場合、物体まわりの平均流、時間平均空力特性値に対し、乱れの強さが与える効果は大きいが、一般に乱れのスケールはほとんど影響しないと報告されている<sup>1,3-6)</sup>。乱れスケールの効果が現われる唯一のケースは、流れに垂直に置かれた3次元 disk の場合である<sup>2)</sup>。本実験は、乱れの強さと共に乱れのスケールが、直方体（流れに垂直な面が正方形、以後 square rod と呼ぶ）の時間平均背圧値に与える影響を広いスケール比の範囲  $L_x/h = 0.6 \sim 15$  で調べたものである。ここに  $L_x$  は流れ方向の乱れスケール、 $h$  は直方体の代表長さである。乱れの強さの範囲は 8~13 % である。

## 2. 実験装置と方法

実験は縦 4 m × 横 2 m の断面をもつ固定壁風洞で行った。一様流の乱れ強さは約 0.12 % である。乱流場の生成は幅  $b = 15 \text{ cm}$ 、マッシュ幅  $M = 60 \text{ cm}$  の格子を使用し、測定風路を約 12 m の長さに延長した。模型は図 1 に示すように流れ方向の厚さが  $d/h = 0.1, 0.5, 1.0$  の 3 種類、流れに垂直な正方形の辺長  $h$  が 2~30 cm の 8 種類、計 24 個を使用した。模型には支持棒（直径は  $0.1 h$  以下）をつけ風洞壁面よりピアノ線で吊った。背圧孔は背面中心より 5 方向へ  $0.2 h$  の位置に設け、差圧変換器で時間平均背圧値を計測した。基準静圧、動圧は流れ場中に設置したピト-静圧管によった。測定時の風速は約  $10 \text{ m/s}$  で相当するレイノルズ数は  $Re = 1.4 \times 10^4 \sim 2.1 \times 10^5$  (代表長さ  $h$ ) である。

## 3. 格子乱流の特性

I型プローブを使用した熱線流速計からの速度変動信号は、A/D 変換され電算機処理された。図 2 に乱れスケール  $L_x$  と乱れ強さ  $u'/U$  の流れ方向変化を示す。 $u'$  成分のパワースペクトルは自己回帰法で計算し、図 3 に示すように結果は Karman の曲線と良く一致し、 $x = 10M$  でもほぼ等方性乱流が実現していることがわかる。乱れスケール  $L_x$  は固波数  $f = 0$  のパワースペクトル値で評価した（テイラーの仮説、自己相関関数による）。なお、 $x = 10M$  では偏差 2 % の範囲内を各方向に一様であった。

## 4. 実験結果と考察

図 4 に一様流中での 5 方向背圧変化を示す。衝撃効果の修正は Haskell の方法を用いた。図 5 に一様流中での未修正並びに修正値を示しているが、修正値は各  $d/h$  でそれぞれほぼ一定の  $C_{pb}$  値となり、修正方法の妥当性を示している。また上記の  $Re$  数範囲において  $C_{pb}$  に対して  $Re$  数の影響は無視できた。図 6 には、乱流場と一様流場における  $C_{pb}$  の  $d/h$  に対する変化を示す。短い rod ( $d/h$  は小) と長い rod ( $d/h$  は大) とでは乱れから受けた効果が全く逆であることが明らかである。

図 7 には、各  $d/h$  の square rod の  $C_{pb}$  値が、 $L_x/h$  並びに  $u'/U$  に対してどのように変化するかを示した。まず  $d/h = 0.1$  の短い rod では、 $L_x/h = 0.6 \sim 2.5$  の範囲で、 $L_x/h$  が増加するにつれて  $C_{pb}$  値は減少し、その値は  $u'/U$  の大きさによって異なる。 $L_x/h, u'/U$  のこの範囲の  $C_{pb}$  値は図 8 に示すように  $(u'/U)^3 \cdot (L_x/h)^2$  という相似ピラメータでまとめられる。なお、Bearman<sup>2)</sup> は同じ  $L_x/h$  の範囲だが、 $u'/U = 5 \sim 8\%$  において別の相似ピラメータ  $(u'/U)(L_x/h)^2$  を整理している。次に  $L_x/h = 2.5 \sim 15$  の範囲では、 $C_{pb}$  はほぼ一定の値を示し、この範囲では  $L_x/h$  の影響がない。ただし  $u'/U$  によってその値には違いがある。

$d/h = 1.0$  の長い rod に関しては、 $L_x/h = 0.6 \sim 15$  の範囲で  $L_x/h$  の増加と共に  $C_{pb}$  は徐々に減少し、一様流の値へ戻って行くような傾向を示している。Bearman<sup>2)</sup> や Roberson<sup>3)</sup> によれば  $L_x/h = 0.1 \sim 1.2$  では  $C_{pb}$  に対し

乱れスケールの影響はほとんどないと報告されている。

図7から推測すると square rod の  $C_{pb}$  値に対し、乱れのスケールが与える効果は、短い rod と長い rod に隔てて図9にスケッチされるようになると考へられる。乱れが  $C_{pb}$  値に与える効果は全く逆であるが、本質的には同じ作用に基づくものであり、乱れスケールの効果を受ける範囲と受けない範囲 ( $C_{pb}$  値は一様流の場合と大きく異なるが) が、両方の rod に共通して存在する。

## 5. 結び

乱流場中におかれた直方体の背圧に対し、その物体の長さ、乱れ強さと共に乱れのスケールの効果も重要なことがあることがわかった。

## 6. 参考文献

- 1) Bearman, P.W. : 3rd Nat. Conf. Wind Eng. Res., Florida, 1978.
- 2) Bearman, P.W. : JFM, 461, 1971
- 3) Bearman, P.W. : Trans. ASME, J. Fluid Eng., 102, 1980.
- 4) Nakamura, Y. et al. : Trans. Japan Soc. Aero. and Space Sci., 19-44, 1976.
- 5) Petty, D.G. : J. Ind.

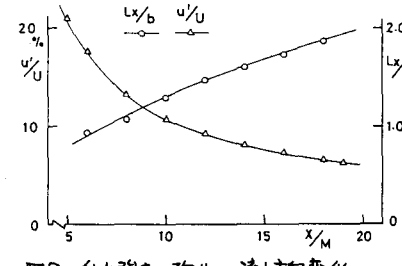


図2. 乱れ強さとスケールの流れ方向変化

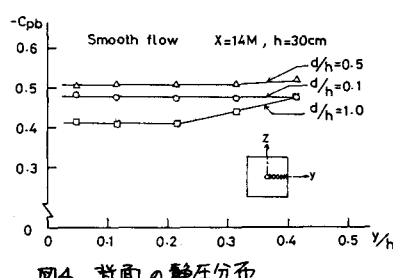


図4. 背面の静圧分布

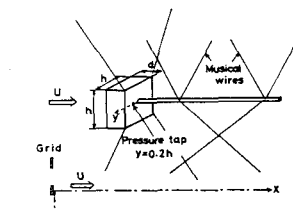


図1. 直方体モデルと座標系

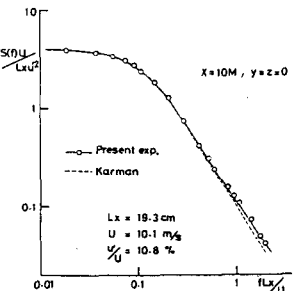


図3. 亂れのパワースペクトル ( $U_e^2$ 成分)

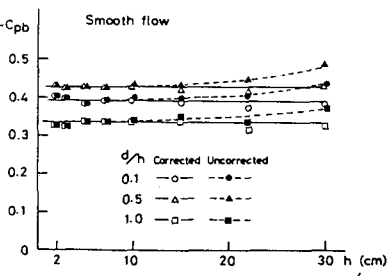


図5. 背圧係数の未修正および修正値

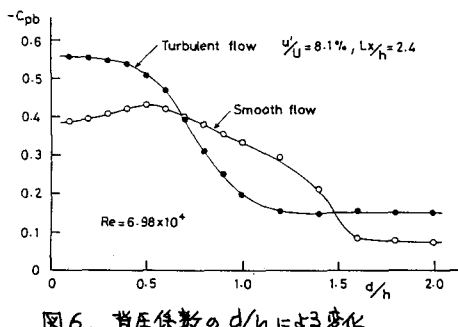


図6. 背圧係数の  $d/h$  による変化

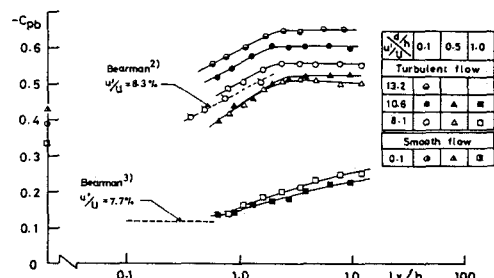


図7. 背圧係数の乱れスケールによる変化

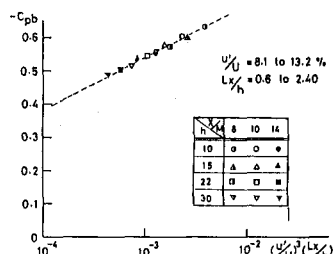


図8. 背圧係数に対する相似性

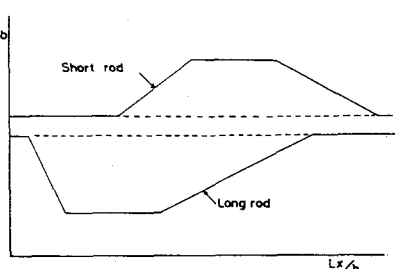


図9. 乱れスケールによる背圧係数変化のスケーリング